

Estimation des indicateurs de dépendance

ACI

10 mai 2006

Estimation

- Maximum de vraisemblance
- Non paramétrique
- Madogramme
- Madogramme transformé

Simulations

- Modèle Gaussien
- Modèles "tempêtes"
- Bilan
- Données Sahel

Coefficient η

Conclusions

Mesure de la dépendance

Structuration des extrêmes : dépendance spatiale des extrêmes
 $\max(Z(s))$ et $\max(Z(s + h))$ sont dépendants si h est petit.
Calcul de

$$\theta(h) = \theta(Z(s), Z(s + h))$$

Si

- ▶ $1 \leq \theta(h) < 2$, $Z(s)$ et $Z(s + h)$ sont asymptotiquement dépendants
- ▶ $\theta(h) = 2$, $Z(s)$ et $Z(s + h)$ sont asymptotiquement indépendants ou indépendants

Estimation de $\theta(h)$

4 approches :

- ▶ *Maximum de vraisemblance,*
- ▶ *fonction de dépendance*
- ▶ *madogramme transformé*
- ▶ *madogramme puissance*

I) Maximum de vraisemblance (Schlather-Tawn (2003))

- k répétitions indépendantes $(Z_i^{(1)}, Z_i^{(2)})$
- marginales Fréchet
- loi de $\max(Z^{(1)}, Z^{(2)}) \sim \exp(-\theta/x)$, au-dessus d'un seuil z ;
- $t = \exp(-1/z)$

Estimateur du maximum de vraisemblance censuré :

$$\hat{\theta}_{MV} = \frac{\text{card} \left\{ j : \max_{i \in \{1,2\}} (Z_i^{(j)} \bar{X}_i) > z \right\}}{\sum_{j=1}^k \left[\max \left\{ z, \max_{i \in \{1,2\}} (Z_i^{(j)} \bar{X}_i) \right\} \right]^{-1}}$$

avec $\bar{X}_i = k^{-1} \sum_{j=1}^k \frac{1}{Z_i^{(j)}}$ ($\hat{\theta}_{MV} = 1$ quand $t = 0$).

II) Estimation non paramétrique de la fonction de dépendance

Loi bivariée des valeurs extrêmes :

$$G(x, y) = \exp \left\{ - \left(\frac{1}{x} + \frac{1}{y} \right) A \left(\frac{x}{x+y} \right) \right\}$$

où $A(\cdot)$ fonction convexe de $[0, 1]$ sur $[1/2, 1]$ (Pickands (1981)).

On a : $\theta = 2A(\frac{1}{2})$.

\rightsquigarrow Estimation non paramétrique de $A(\cdot)$; (Capéraà, Fougères and Genest (1997); R *evd* package, Stephenson (2003))

III) Estimation par le madogramme (Poncet, Cooley and Naveau (2005))

Madogramme :

$$\nu(h) = \frac{1}{2} \mathbb{E} | Z(s+h) - Z(s) |$$

Si $Z(\cdot)$ processus max-stable marginales Fréchet .
 Madogramme transformé

$$\nu_F(h) \equiv \frac{1}{2} \mathbb{E} | F(Z(s+h)) - F(Z(s)) |$$

De $|X - Y| = 2 \max(X, Y) - (X + Y)$, on tire

$$\nu_F(h) = \frac{\theta(h) - 1}{2(\theta(h) + 1)}$$

et

$$\hat{\theta}_{PCN}(h) = \frac{1 + 2\hat{\nu}_F(h)}{1 - 2\hat{\nu}_F(h)}$$

IV) Estimateur par moindres carrés

$$\lambda \in \mathbb{R}, \nu_F^\lambda(h) = \frac{1}{2} \mathbb{E} | F^\lambda(Z(s+h)) - F^\lambda(Z(s)) |$$

$$\nu_F^\lambda(h) = \frac{\lambda(\theta - 1)}{(\theta + \lambda)(\lambda + 1)}$$

$$\lambda_1, \dots, \lambda_m \text{ réels, } g_{\theta(h)}(\lambda_i) = \frac{\theta(h) - 1}{\theta(h) + \lambda_i} \text{ et } y_i(h) = \frac{1 + \lambda_i}{\lambda_i} \nu_F^{\lambda_i}(h)$$

\rightsquigarrow estimateur (non-linéaire) des Moindres Carrés

$$\hat{\theta}_{MC}(h) = \operatorname{argmin}_{\theta} \sum_{i=1}^m (y_i(h) - g_{\theta}(\lambda_i))^2$$

Etude sur simulations

2 modèles :

- (a) modèle Gaussien (*indépendance asymptotique*)
- (b) modèle tempête (*dépendance asymptotique*)

2 approches :

- *classique* : répétitions sur les couples $(Z(s), Z(s + h))$
- *spatial* : utilise l'ergodicité et la stationnarité de $Z(\cdot)$: les estimateurs sont calculés sur une seule réalisation

2 transformations :

- *Fonction de répartition empirique*
- *Fonction de répartition estimée par GEV*

Exemple

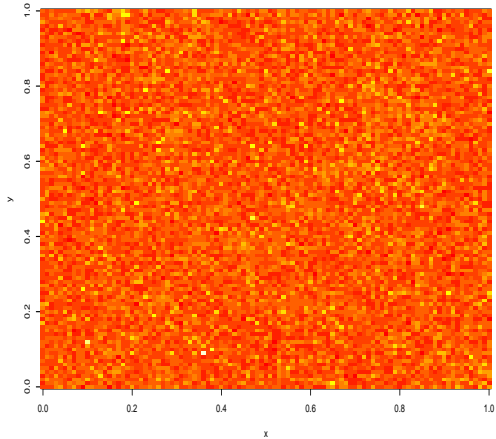
Champ Gaussien stationnaire isotrope de fonction de corrélation $\rho(h)$

▶ $\theta(h) = 2$

Asymptotiquement indépendant

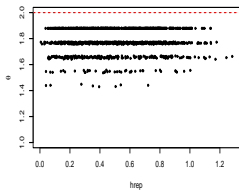
100 Champs Gaussien de fonction de corrélation exponentielle, de portée $a = 0.2$, carré unité, maximum en chaque point.

Champ de maxima Gaussiens

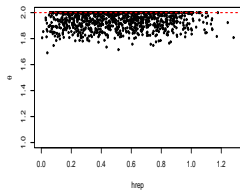


Modele gaussien , 10000 simulations, 50 points echantillonnes
Repetitions

Max Vraisemblance

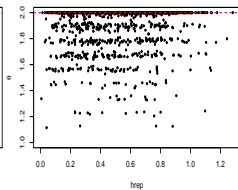


Naveau-Poncet

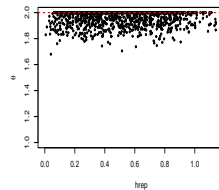


Modele gaussien , 10000 simulations, 50 points echantillonnes
Repetitions

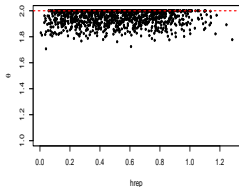
Max Vraisemblance



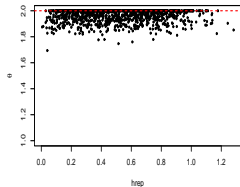
Naveau-Poncet



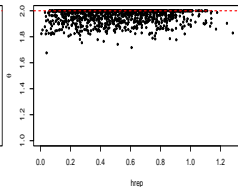
Moindres Carres



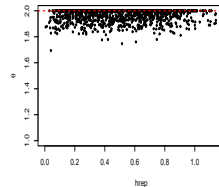
Non Parametrique



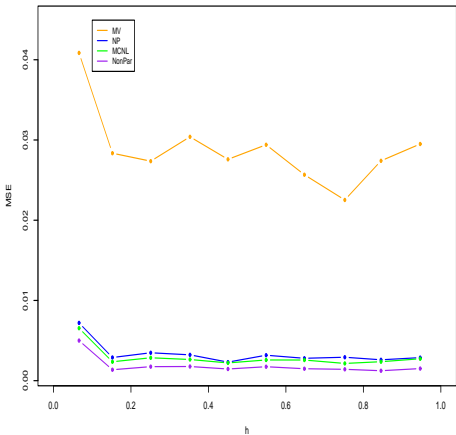
Moindres Carres



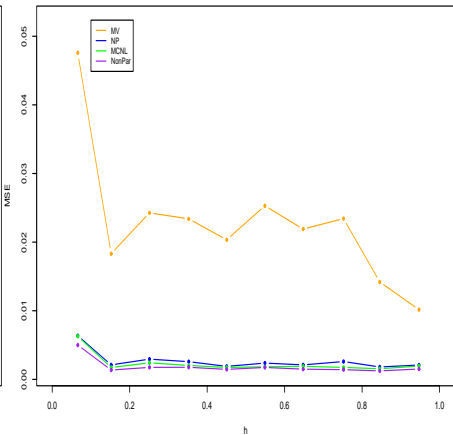
Non Parametrique



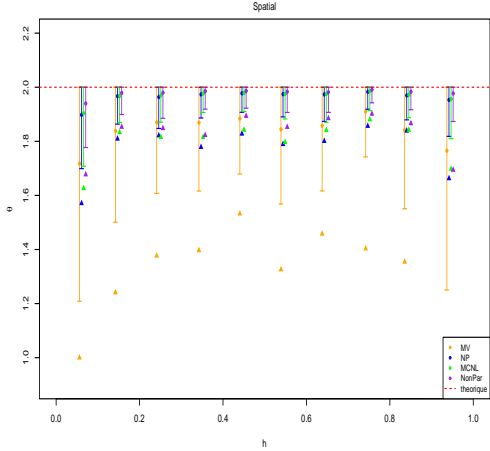
MSE relatif pour le gaussien
 en repetitions



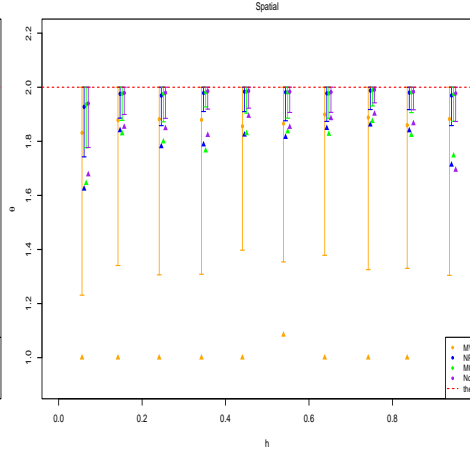
MSE relatif pour le gaussien
 en repetitions



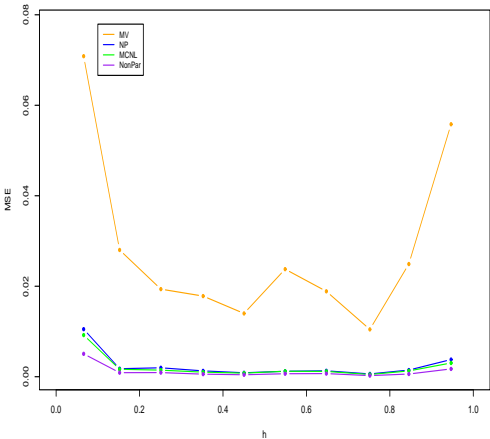
Modèle gaussien , 10000 simulations, 50 points échantillonnés



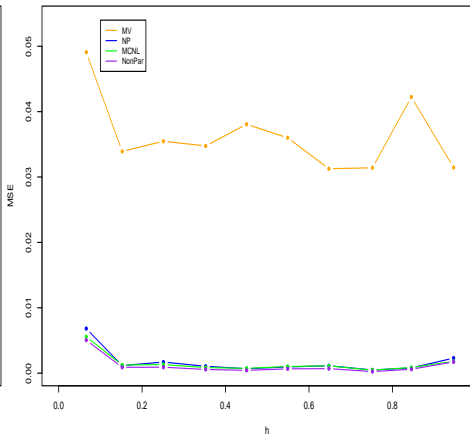
Modèle gaussien , 10000 simulations, 50 points échantillonnés



MSE relatif pour le gaussien
en spatial



MSE relatif pour le gaussien
en spatial



Modèles tempête

φ une fonction aléatoire t.q. $\mu = E \left(\int_{\mathbb{R}^2} \max(0, \varphi(x)) dx \right) \in]0; \infty[$
 π processus de Poisson sur $\mathbb{R}^2 \times]0; +\infty[$, d'intensité $\mu^{-1} dy d\zeta^{-2} d\zeta$

$$Z(s) = \sup_{(y, \zeta) \in \pi} \zeta \varphi_{y, \zeta}(s - y)$$

où $\varphi_{y, \zeta}$ répliques i.i.d de φ .

Z processus max-stable stationnaire à marginales Fréchet unité.

φ est la forme de la tempête,

aléatoire (disques de rayon aléatoire ...)

déterministe (bi-Gaussienne de corrélation fixée).

ζ : l'intensité de la tempête

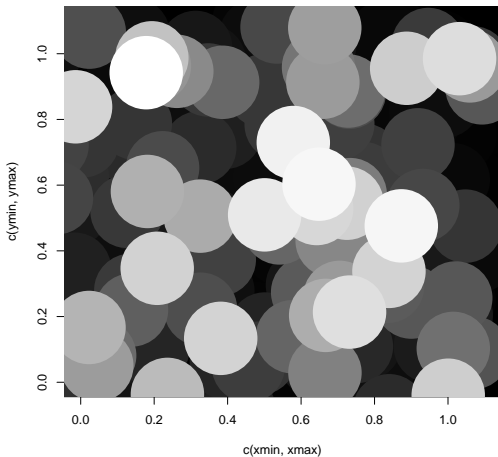
y est le centre de la tempête.

- ▶ Disques de rayon aléatoires

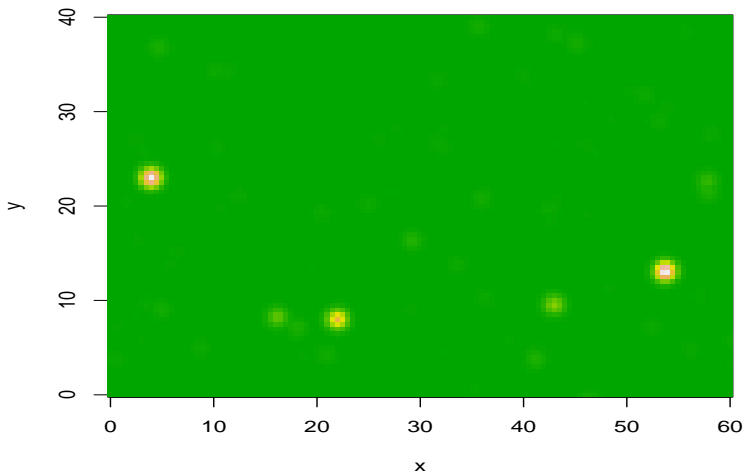
$$\theta(h) = 1 + \frac{1}{2} \min(1, h) \left(3 - \min(1, h)^2 \right)$$

- ▶ tempête Gaussienne de matrice Σ

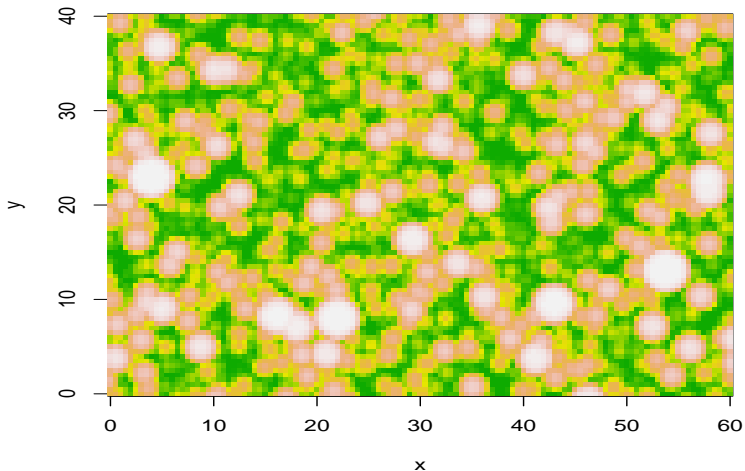
$$\theta(h) = 2\Phi(h^t \Sigma^{-1} h / 2)$$



non anamorphose

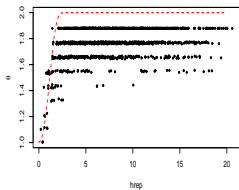


anamorphose

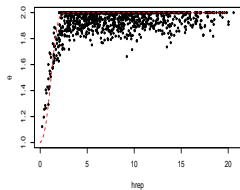


Modele tempete , 3000 simulations, 50 points echantillonnes
Repetitions

Max Vraisemblance

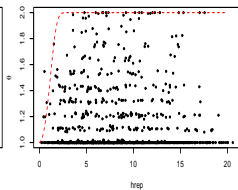


Niveau-Poncet

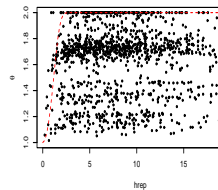


Modele tempete , 3000 simulations, 50 points echantillonnes
Repetitions

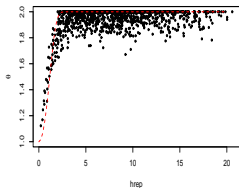
Max Vraisemblance



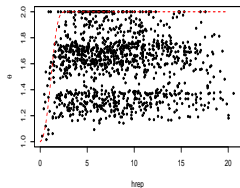
Niveau-Poncet



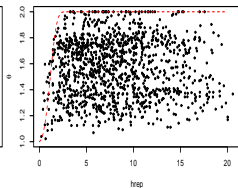
Moindres Carres



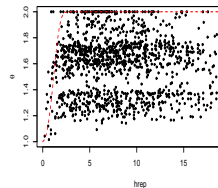
Non Parametrique



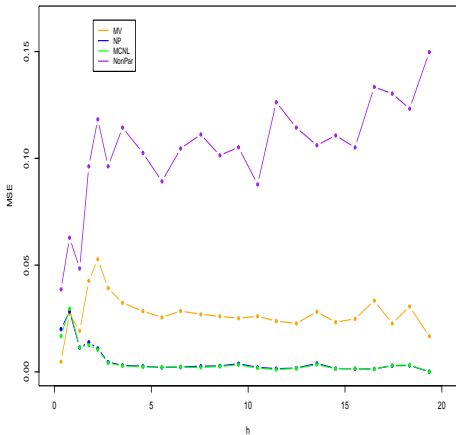
Moindres Carres



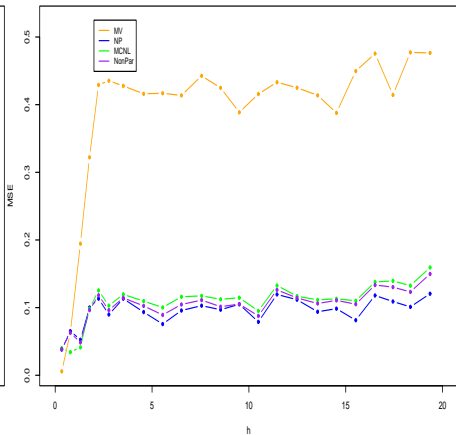
Non Parametrique



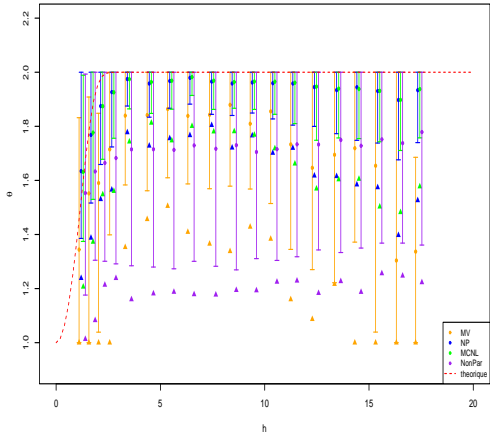
MSE relatif pour le tempete
 en repetitions



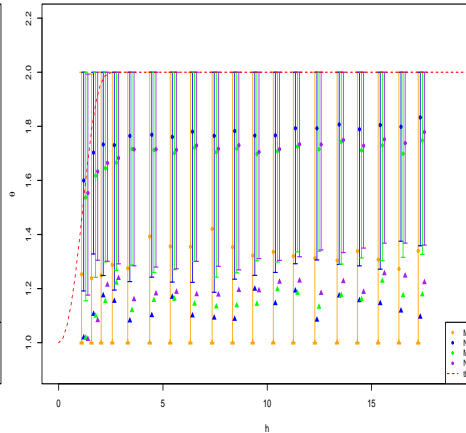
MSE relatif pour le tempete
 en repetitions



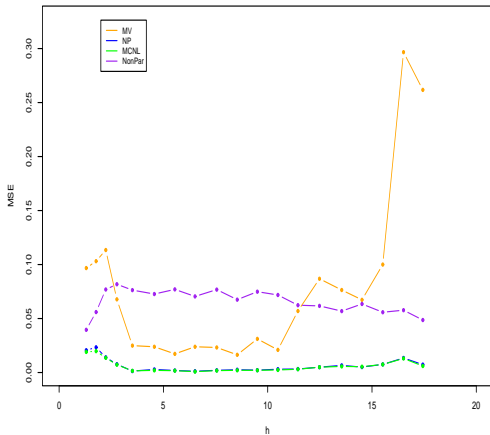
Modele tempete , 3000 simulations, 50 points echantillonnes
Spatial



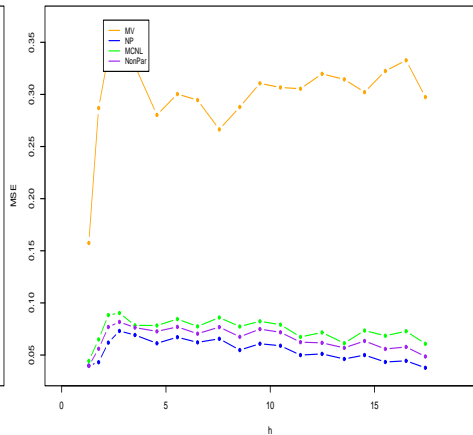
Modele tempete , 3000 simulations, 50 points echantillonnes
Spatial



MSE relatif pour le tempete
 en spatial



MSE relatif pour le tempete
 en spatial



Conclusions

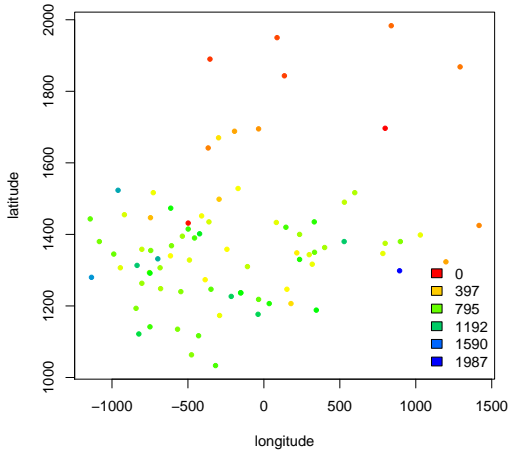
- **Modèle Gaussien :**

- peu de différence uniforme-GEV, sauf MV
- Approche classique : non paramétrique, MC, puis NCP
- Approche Spatiale : dégradation pour les petites et les moyennes distances (moins de couples)

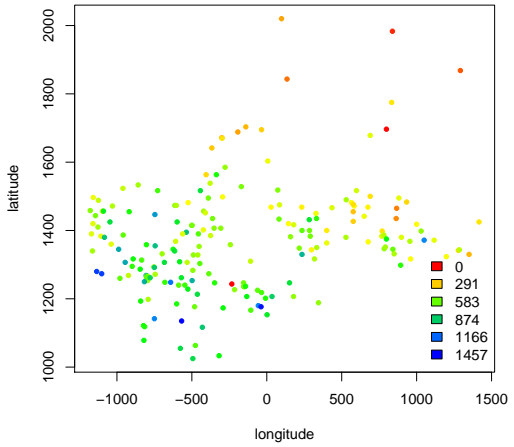
- **Modèle tempête :**

- très nette dégradation avec la GEV
- Approche classique : MC,NCP,MV
- Approche Spatiale : idem, à peine dégradé.

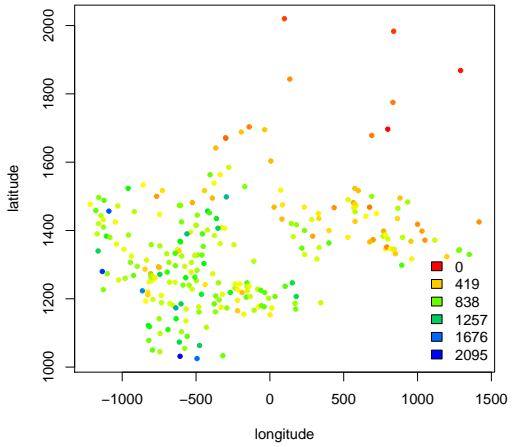
maximum des pluies pour l'année 1945



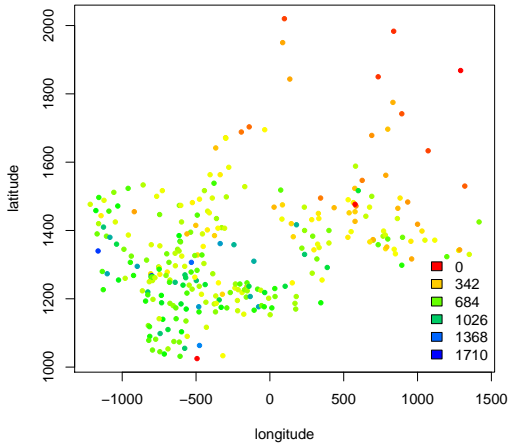
maximum des pluies pour l'année 1955



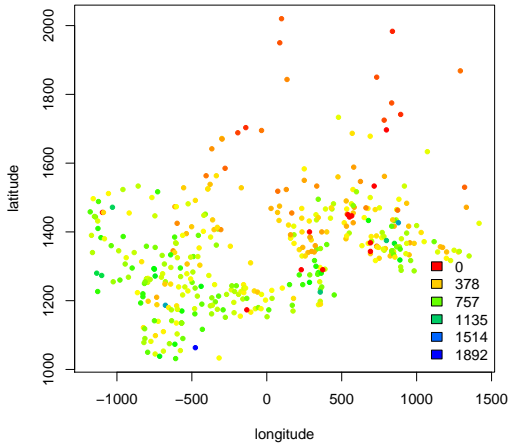
maximum des pluies pour l'année 1965



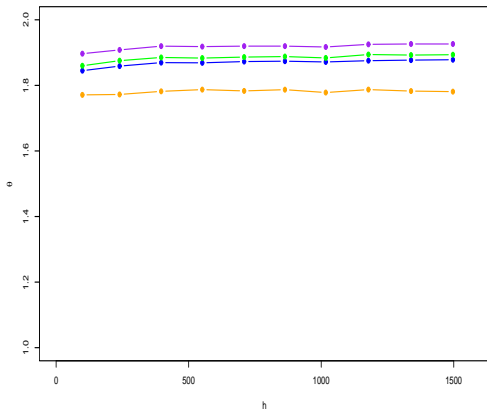
maximum des pluies pour l'année 1975



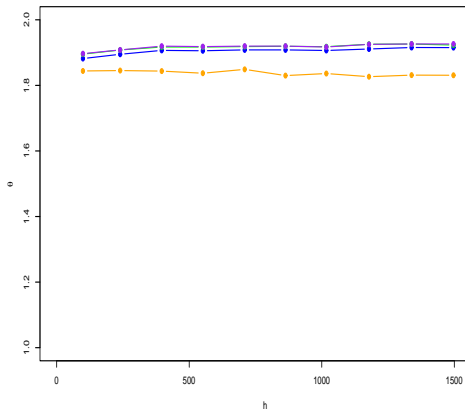
maximum des pluies pour l'année 1985



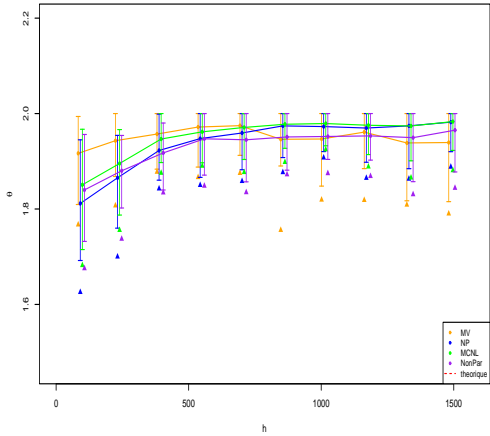
Maximum de pluies au Sahel emp
Répétions, par classe



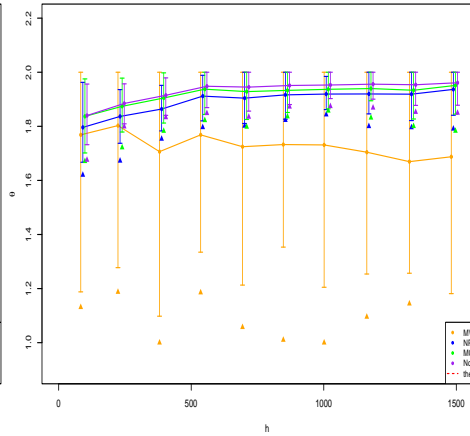
Maximum de pluies au Sahel gev
Répétions, par classe



Maximum de pluies au Sahel emp
 Spatial



Maximum de pluies au Sahel gev
 Spatial



Conclusions

- Plus variable avec la GEV
- estimateurs concordants (sauf MV)
- faible dépendance à petites distances ?

Coefficient η

Champ Gaussien stationnaire isotrope de fonction de corrélation $\rho(h)$:

$$\eta(h) = \frac{1}{2}(1 + \rho(h))$$

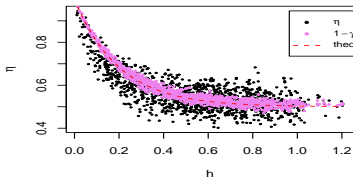
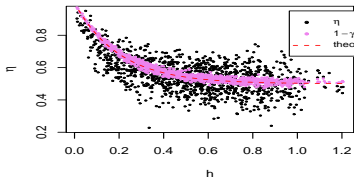
Modèle tempête (asymptotiquement dépendant)

$$\eta(h) = \frac{1}{2}$$

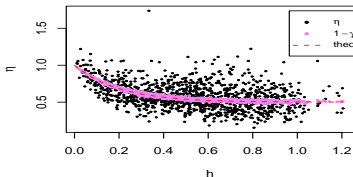
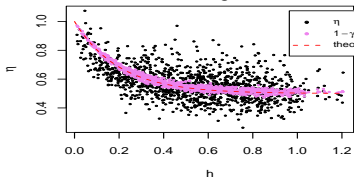
4 estimateurs :

Ledford and Tawn (1996), Hill (1975), Peng (1999), Draisma, Drees, Ferreira and de Haan (2001).

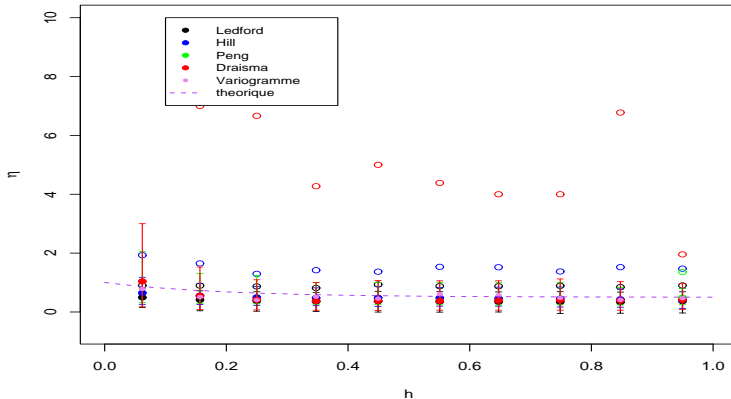
Model Gaussian , 1000 simulations, 50 sample s **Model Gaussian , 1000 simulations, 50 sample s**
 Ledford-Tawn Hill



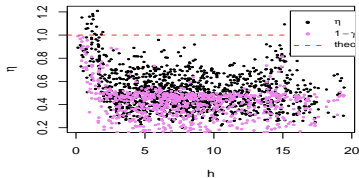
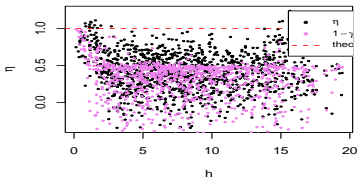
Model Gaussian , 1000 simulations, 50 sample s **Model Gaussian , 1000 simulations, 50 sample s**
 Peng Draisma



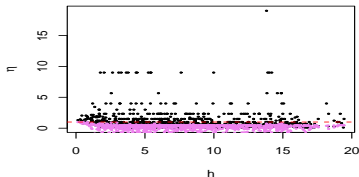
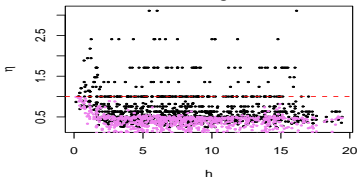
Modele gaussien , 1000 simulations, 50 points echantillonnes



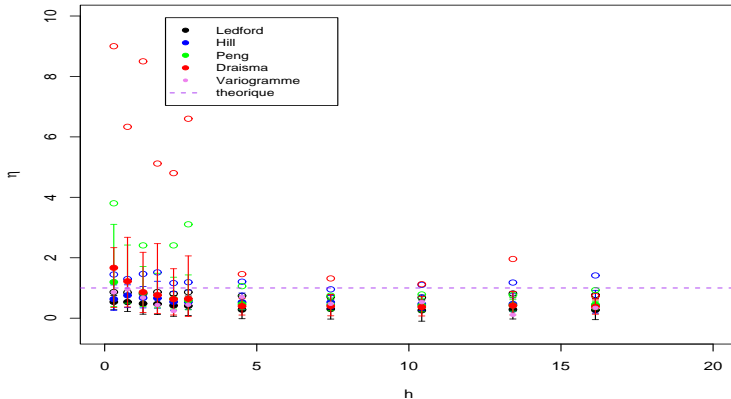
Jele tempete , 100 simulations, 50 points echantile Jele tempete , 100 simulations, 50 points echanti
 Ledford–Tawn Hill



Jele tempete , 100 simulations, 50 points echantile Jele tempete , 100 simulations, 50 points echanti
 Peng Draisma



Modele tempete , 100 simulations, 100 points echantillonnes



Conclusions ?

- **Modèle tempête** : tous trop faibles dès que $h > 0$;
 - Approche classique et spatiale : pareil
- **Modèle Gaussien** : donnent la bonne valeur
variogramme meilleur (moins de variabilité)

Conclusions ?

- $\theta(h), \eta(h)$: caractériser le type de dépendance des extrêmes
- dépendance asymptotique / indépendance asymptotique :
bonnes notions ?
- influence de la dépendance spatiale dans l'estimation ?
- En déduire un modèle adéquat pour la simulation